

## 24. レーザ・レーダに方ける多重散乱の影響

The Contribution of Multiple Scattering to Lidar Signals

有賀 規, 五十嵐 隆 (郵政省電波研究所)

T. Aruga and T. Igarashi (Radio Research Laboratories,  
Ministry of Posts & Telecoms.)

要旨 モンテカルロ法を用いた行列解析によると、多重散乱の卓越する光学的に厚い汚濁した大気からのレーザ・レーダ・エコーの強度と偏光状態を計算機シミュレーションによって求めた。

### はじめに

過去のレーザ・レーダの研究を省みると、汚れの少い光学的に薄い大気についての研究(超高层のエアロソルからの散乱、低層大気のレイリー、ラマン散乱等の散乱断面積の小さな場合の散乱の研究等)は数多くなされあまり一応の成功をおさめているように思われる。最近では光学的に厚い汚れの大気(低層のエアロソル、都会域での煙霧、雲、霧等)の研究が竟争的に行われるようになつた。これはこれらの微粒子が地球全体の熱収支に大きく影響を及ぼし<sup>(1)</sup>、雲状気象や光化学スモッグの原因としても重要であると考えられるからである。特にエアロソルの複素屈折率の虚数部の値の大小によって地球の熱収支が強く影響を受けることが指摘されており<sup>(2), (3)</sup>、レーザ・レーダ等の手段によって微粒子の空間的分布のみならず、屈折率、半径分布、形状等の光学的・物理的性質の測定が強く望まれる<sup>(2), (3)</sup>。

しかし、光学的に厚い微粒子群からの散乱は多重散乱が卓越してくると、一般的のレーザ・レーダ方程式が成立しなくなり非常に困難な問題となつてくる。Liou & Schotland<sup>(4)</sup>やEloranta<sup>(5)</sup>はレーザ・レーダ方程式を発展させて2次散乱までのエコーを解いたが、適用範囲が限られててしまう。Plass & Kattawar<sup>(6)</sup>、Kunkel & Weinman<sup>(7)</sup>はモンテカルロ法によって高次の多重散乱を考慮してエコーを計算した。微粒子による種々の物理的性質を推測するためにレーザ・レーダ・エコーの偏光状態を調べることは非常に興味ある問題であり、Pal & Carswell<sup>(8)</sup>、Znev et al.<sup>(9)</sup>、Werner<sup>(10)</sup>は実験を行つてゐるが、この実験結果を

有効に利用するためには、多重散乱によって偏光状態がどの程度変化するかを理論的に求めることが要求される。

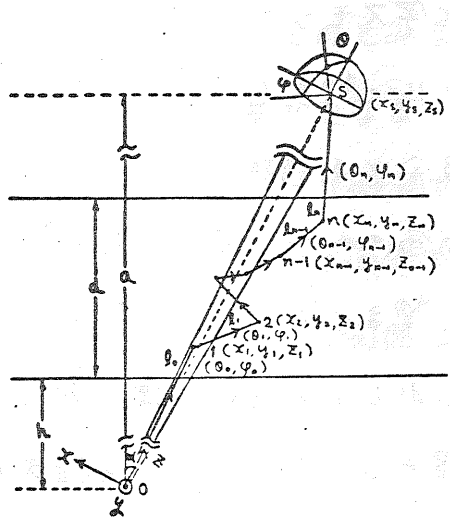
この研究ではモンテカルロ法を用いると同時に、さらに散乱行列を用いて行列解析することによってレーザー・レーダー・エコーの強度のみならず偏光状態を計算機シミュレーションによって求めた。可視、赤外、代表的な波長に対する種々の微粒子からのエコー強度、偏光状態を送信ビームの軸がり、受信視野、光学的厚さ等を変えて求めた。

## §2 数式化

モンテカルロ法を用いた取り扱いの数式化については著者によて既に述べられており<sup>(11)</sup>ので、こゝではほんの一、二の式を示すことにとする。第1図に示すように卓上から出発して光子は微粒子中の実  $1, 2, 3, \dots, n-1, n$  ごれ回散乱し、観測点 S に到達するものとする。モノスター・レーザー・レーダーの場合 S は 0 と一致する。散乱実向の距離を  $l_0, l_1, \dots, l_n$  (但し  $l_0 \sim l_n$  は微粒子内の内部だけの距離) とし、座標軸は送信ビームの中心方向に Z 軸とり、XY 軸は図のまことに定義する。レーザー・ビームは Gauss 分布で直線偏光しているものと仮定する。n 次散乱した後観測点に到達した状態を行列  $\mathbb{I}_n$  で表し、送信時は  $\mathbb{I}_0$  とする。一般に  $\mathbb{I}_1$  は、

Stokes ハラメタ  $I_e, I_r, U, V$  を用いて

$$\mathbb{I}_1 = \begin{pmatrix} I_e \\ I_r \\ U \\ V \end{pmatrix} \text{ と一列行} \text{ として表される。}^{(12)}$$



第1図

この研究では  $\mathbb{I}_n$  を次のように書いて計算を行った。

$$\mathbb{I}_n = \frac{\Delta\Omega}{4\pi} \exp(-\beta_e l_n) P(\theta_n, \varphi_n; \theta_{n-1}, \varphi_{n-1}) \left[ \prod_{j=1}^{n-1} P(\theta_j, \varphi_j; \theta_{j-1}, \varphi_{j-1}) \right] \left[ \prod_{j=1}^{n-1} C_j \right] \times w^n \left[ \prod_{j=0}^{n-1} W_j \right] \mathbb{I}_0$$

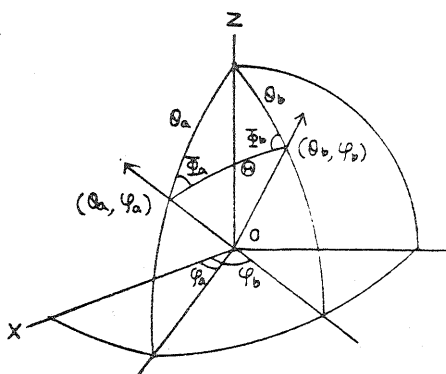
ここで  $C_j$ ,  $(\theta_j, \varphi_j)$  は各散乱後の進み方角,  $\Delta\Omega$ : n 次の散乱点から観測点の集光

微小面積の微小立体角,  $\beta_e$ : 減衰係数,  $w$ : single scattering albedo ( $w = \beta_s / \beta_e$ ),  $W_j$ : 光子のエネルギーの重み,  $C_j = 1 / \bar{P}(\Theta)$   $\bar{P}(\Theta)$ : phase function

また, 散乱前 (b), 後 (a) とすると (第2図参照)

$$P(\theta_a, \varphi_a; \theta_b, \varphi_b) = L(\pi - \bar{\theta}_a) \bar{P}(\Theta) L(-\bar{\theta}_b)$$

$L$  は座標変換を表す行列



第2図

$$L(\pi - \bar{\theta}) = L(-\bar{\theta}) = \begin{pmatrix} \cos^2 \bar{\theta} & \sin^2 \bar{\theta} & -\frac{1}{2} \sin 2\bar{\theta} & 0 \\ \sin^2 \bar{\theta} & \cos^2 \bar{\theta} & \frac{1}{2} \sin 2\bar{\theta} & 0 \\ \sin 2\bar{\theta} & -\sin 2\bar{\theta} & \cos 2\bar{\theta} & 0 \\ 0 & 0 & 0 & 1 \end{pmatrix}$$

$\bar{P}(\Theta)$  は散乱行列

$$\bar{P}(\Theta) = \begin{pmatrix} P_1(\Theta) & 0 & 0 & 0 \\ 0 & P_2(\Theta) & 0 & 0 \\ 0 & 0 & P_3(\Theta) & -P_4(\Theta) \\ 0 & 0 & P_4(\Theta) & P_3(\Theta) \end{pmatrix}$$

④: 散乱角,  $P_1(\Theta), P_2(\Theta), P_3(\Theta), P_4(\Theta)$  は微粒子の複素屈折率と粒径分布および波長  $\lambda$  と共に, 13) Mie 散乱波散乱理論 <sup>(13), (14)</sup> より求めることができる。

### §3 計算結果

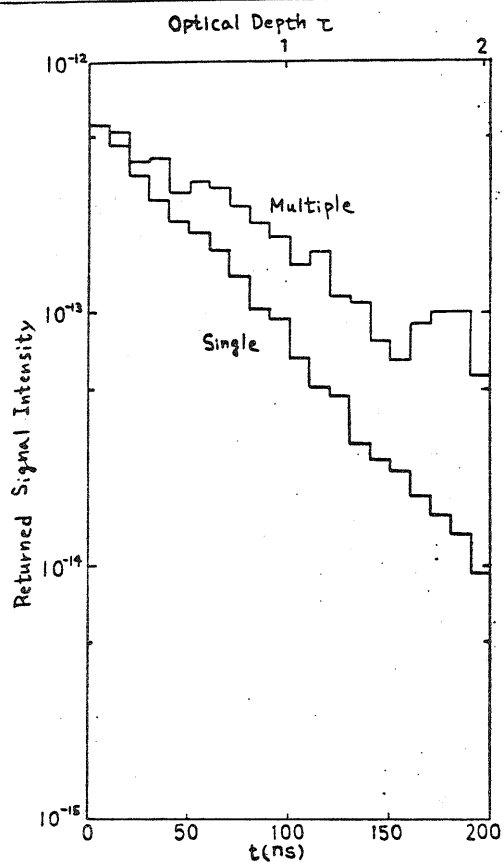
微粒子の散乱行列や, 減衰係数算は備え計算して恒久ファイルに入れてある。  
0.5mm の波長のレーザー, レターナー Ns cloud のエコーを求める例を第3図(a), (b) に示す。  $I_{\parallel}, I_{\perp}$  はレーザーの偏光方向と平行, 直角の成分を示し, 実線は受信視野 20mrad, 虚線は 1mrad (送信ビームの半径と等しい) である。雲の頂面の高さ 1km とし, 時間軸の始点は雲の頂面に相当する。送信の強度を 1 とし, 受信アンテナの面積を  $1 \text{ cm}^2$  として規格されたエコーの強度を示している。第4図 (a), (b) には, (全反射の散乱強度 / 1 次散乱の強度) と  $I_{\perp}/I_{\parallel}$  を示す。

$I_{\perp}/I_{\parallel}$  は Degree of Depolarization である。

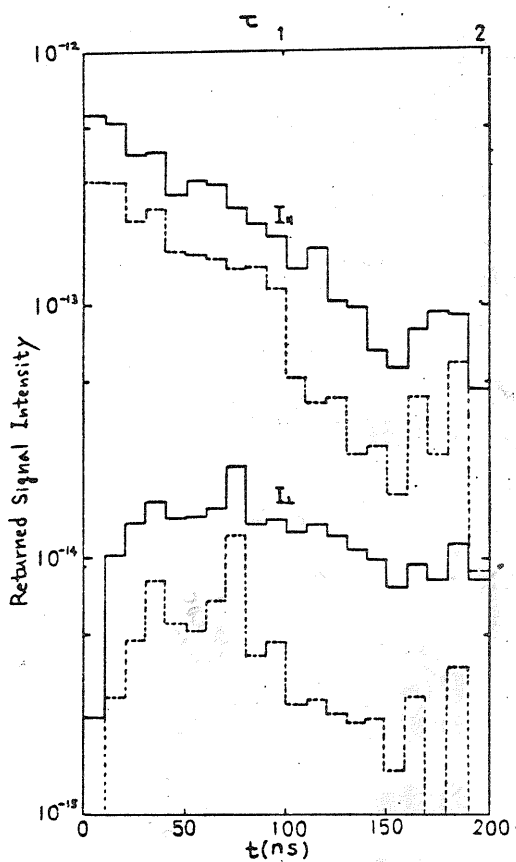
ここで雲の粒子の屈折率は  $n = 1.336 - 0.800 \times 10^{-9} \lambda$  (for 0.5mm) とし, 粒径分布は Deam の観測値に従う <sup>(15), (16)</sup>

第3回

(a)

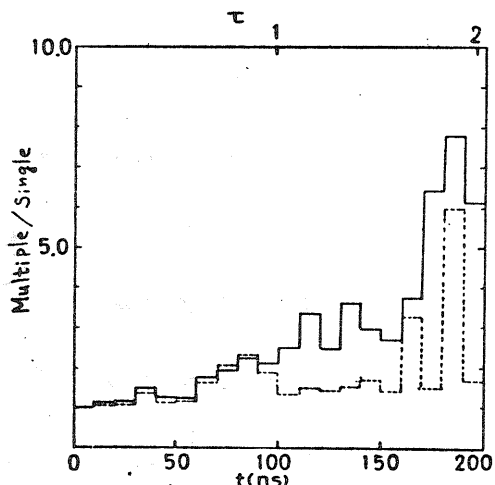


(b)

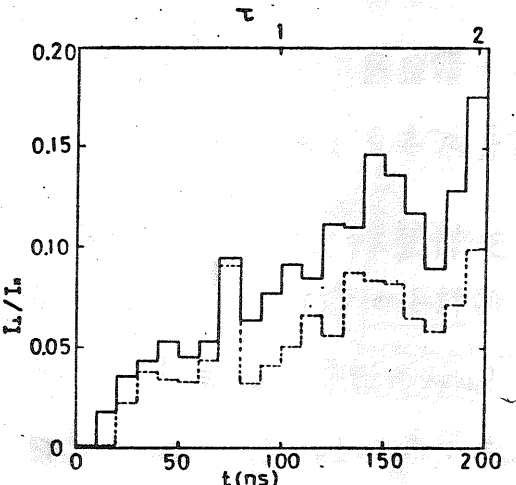


第4回

(a)



(b)



## 参考文献

- (1) G. Yamamoto & M. Tanaka; J. Atm. Sci., 29, 1405 (1972)
- (2) M. Tanaka; MAP Symposium (1976)
- (3) M. L. Wright et al. N76-14647 (1975)
- (4) K. Liou & R. H. Schotland; J. Atm. Sci., 28, 772 (1971)
- (5) E. W. Eloranta; Ph.D. thesis, Univ. of Wisconsin (1972)
- (6) G. N. Plass & G. W. Kattawar; Appl. Opt., 10, 2304 (1971)
- (7) K. E. Kunkel & J. A. Weinman; J. Atm. Sci., 33, 1772 (1976)

- (8) S. R. Pal & A. I. Carswell; Appl. Opt., 8, 1990 (1976)
- (9) V. E. Zuer et. al.; 6th Conf. R. L. S.
- (10) Ch. Werner; 6th Conf. R. L. S.
- (11) 有賀, 三上尚; 地球・気候・地殻研究会 報告書, 76, No. 157, 7 (1976)
- (12) S. Chandrasekhar; "Radiative Transfer"
- (13) Van de Hulst; "Light Scattering by Small Particles"
- (14) D. Deirmenjian; "Electromagnetic Scattering on Spherical Polydispersions"
- (15) M. Deam; Met. Rundschau; 9 & 10, 261 (1948)
- (16) L. W. Cartier et al.; Appl. Opt., 6, 1209 (1967)